

**УРАВНЕНИЯ
В ЧАСТНЫХ ПРОИЗВОДНЫХ**

УДК 519.6

**МЕТОД ГРАНИЧНЫХ ЭЛЕМЕНТОВ ДЛЯ РЕШЕНИЯ
НЕОДНОРОДНОГО БИГАРМОНИЧЕСКОГО УРАВНЕНИЯ
С НЕИЗВЕСТНОЙ ФУНКЦИЕЙ И ЕЕ ПРОИЗВОДНЫМИ
В ПРАВОЙ ЧАСТИ¹⁾**

© 2021 г. Р. Ф. Марданов^{1,*}, А. Е. Марданова^{1,**}

¹ 420008 Казань, ул. Кремлевская, 18, К(П)ФУ, Россия

*e-mail: Renat.Mardanov@kpfu.ru

**e-mail: AEMardanova@kpfu.ru

Поступила в редакцию 23.01.2020 г.

Переработанный вариант 23.01.2020 г.

Принята к публикации 16.12.2020 г.

Предложен метод граничных элементов для решения неоднородного бигармонического уравнения с правой частью, содержащей искомую функцию и ее производные. Точность численных результатов исследована для тестовой задачи сравнением с аналитическим решением. Получено численное решение задачи о расчете фильтрационного течения в пористой среде с неоднородным распределением проницаемости в рамках модели Бринкмана. Библ. 16. Фиг. 5. Табл. 1.

Ключевые слова: бигармоническое уравнение, метод граничных элементов, фильтрация, модель Бринкмана, неоднородная проницаемость.

DOI: 10.31857/S0044466921040086

ВВЕДЕНИЕ

Бигармоническое уравнение представляет собой дифференциальное уравнение в частных производных четвертого порядка вида

$$\Delta^2 f = v, \quad (0.1)$$

где $\Delta = \frac{\partial^2}{\partial x^2} + \frac{\partial^2}{\partial y^2}$ – оператор Лапласа. Уравнение (0.1) широко применяется в механике сплошных сред: например, в задачах расчета изгиба плоской упругой пластины под действием нагрузки [1] и течения вязкой жидкости при малых числах Рейнольдса в рамках модели Стокса [2]. В приведенных примерах правая часть уравнения (0.1) является известной функцией, и численные методы решения таких задач хорошо развиты [3], [4].

Отдельный класс задач механики сводится к более сложному бигармоническому уравнению, правая часть которого содержит саму искомую функцию и ее производные. Классическим примером является задача о расчете вязкого течения в рамках модели Навье–Стокса с использованием переменных функции тока ψ и завихренности $\omega = -\Delta\psi$. В этом случае функция тока ψ удовлетворяет уравнению [5], [6]

$$\Delta^2 \psi = \text{Re} \left(\frac{\partial \psi}{\partial y} \frac{\partial \omega}{\partial x} - \frac{\partial \psi}{\partial x} \frac{\partial \omega}{\partial y} \right), \quad (0.2)$$

где Re – число Рейнольдса. Уравнение (0.2) нелинейное и его решение находится в основном численными итерационными методами [3], [7], [8].

Настоящая работа посвящена решению неоднородного бигармонического уравнения с линейной правой частью, содержащей искомую функцию и ее производные. Предложенный под-

¹⁾Статья подготовлена в рамках реализации программы развития Регионального научно-образовательного математического центра Приволжского федерального округа, соглашение № 075-02-2020-1478.

ход основан на методе граничных и областных элементов (МГОЭ) (boundary domain integral method (BDIM)) [5], [9]–[11], позволяющем решить задачу без организации итерационного процесса. Проведена апробация метода для тестовой задачи сравнением с известным аналитическим решением. В качестве примера практического применения выполнено решение задачи о расчете плоского фильтрационного течения в пористой среде с пространственно неоднородным распределением проницаемости. Полученное решение сопоставлено с результатом вычислительного эксперимента по детальному расчету течения вязкой жидкости в межпоровом пространстве модельной пористой среды в рамках модели Стокса. Результаты числовых расчетов для обеих задач подтвердили эффективность и хорошую точность предложенного численного метода.

1. ПОСТАНОВКА ЗАДАЧИ

Рассмотрим функцию $f(x, y)$, удовлетворяющую в области Ω , ограниченной контуром Γ , неоднородному бигармоническому уравнению (0.1). Правая часть $v(x, y)$ в общем случае зависит от искомой функции f и ее производных:

$$v = v_0 + v_1 f + v_2 \frac{\partial f}{\partial x} + v_3 \frac{\partial f}{\partial y} + v_4 \Delta f + v_5 \frac{\partial(\Delta f)}{\partial x} + v_6 \frac{\partial(\Delta f)}{\partial y}, \quad (1.1)$$

где заданные функции $v_i = v_i(x, y)$, $i = \overline{0, 6}$, являются функциями координат (x, y) . Граничные условия могут иметь следующий вид:

$$f|_{\Gamma} = h_1(s), \quad f'|_{\Gamma} = h_2(s), \quad \Delta f|_{\Gamma} = h_3(s), \quad (\Delta f)'|_{\Gamma} = h_4(s), \quad (1.2)$$

где $h_i(s)$, $i = \overline{1, 4}$ – известные функции, s – дуговая абсцисса контура Γ , отсчитываемая от некоторой точки так, что область Ω остается слева, а штрих означает производную по направлению внешней нормали n , т.е. $(\cdot)' = \partial(\cdot)/\partial n$. Граница Γ разбита на участки $\Gamma^{(j)}$, $j = \overline{1, N}$, на каждом из которых заданы по два граничных условия вида (1.2), в зависимости от конкретной решаемой задачи.

Требуется определить функцию $f(x, y)$.

2. РЕШЕНИЕ

Для решения поставленной задачи используем МГОЭ по аналогии с тем, как это было сделано для уравнений Пуассона и Гельмгольца в работах [10], [11]. Перепишем уравнение (0.1) четвертого порядка в виде системы двух уравнений второго порядка

$$\Delta f = g, \quad \Delta g = v \quad (2.1)$$

для функций $f(x, y)$ и $g(x, y)$. Используя известное интегральное соотношение Рэля–Грина для бигармонического уравнения [6], запишем эквивалентную пару интегральных уравнений:

$$\begin{aligned} \chi(x, y)f(x, y) &= \int_{\Gamma} [f(s)G_1'(x, y, s) - f'(s)G_1(x, y, s) + \\ &+ g(s)G_2'(x, y, s) - g'(s)G_2(x, y, s)]ds + \int_{\Omega} v(\xi, \eta)G_2(x, y, \xi, \eta)d\xi d\eta, \end{aligned} \quad (2.2)$$

$$\chi(x, y)g(x, y) = \int_{\Gamma} [g(s)G_1'(x, y, s) - g'(s)G_1(x, y, s)]ds + \int_{\Omega} v(\xi, \eta)G_1(x, y, \xi, \eta)d\xi d\eta, \quad (2.3)$$

где $\chi(x, y) = 2\pi$ для внутренних точек $(x, y) \in \Omega$, $\chi(x, y) = \beta$ для граничных точек $(x, y) \in \Gamma$ (β – внутренний к области Ω угол в точке на границе Γ). Функции Грина для бигармонического уравнения имеют вид

$$G_1 = \ln \rho, \quad G_2 = \frac{\rho^2}{4}(\ln \rho - 1), \quad (2.4)$$

$$\rho(x, y, s) = \sqrt{(x_1(s) - x)^2 + (y_1(s) - y)^2}, \quad \rho(x, y, \xi, \eta) = \sqrt{(\xi - x)^2 + (\eta - y)^2},$$

где (x_1, y_1) – координаты точки интегрирования на границе Γ с дуговой абсциссой s , а (ξ, η) – координаты точки интегрирования в области Ω .

Функция $v(x, y)$ (1.1), которую с учетом (2.1) перепишем в виде

$$v = v_0 + v_1 f + v_2 \frac{\partial f}{\partial x} + v_3 \frac{\partial f}{\partial y} + v_4 g + v_5 \frac{\partial g}{\partial x} + v_6 \frac{\partial g}{\partial y}, \quad (2.5)$$

содержит производные неизвестных функций f и g . Для получения замкнутой системы интегральных уравнений продифференцируем (2.2) и (2.3) по переменным x и y :

$$\begin{aligned} \chi(x, y) \frac{\partial f(x, y)}{\partial x} &= \int_{\Gamma} \left[f(s) \frac{\partial G_1'(x, y, s)}{\partial x} - f'(s) \frac{\partial G_1(x, y, s)}{\partial x} + \right. \\ &+ \left. g(s) \frac{\partial G_2(x, y, s)}{\partial x} - g'(s) \frac{\partial G_2(x, y, s)}{\partial x} \right] ds + \int_{\Omega} v(\xi, \eta) \frac{\partial G_2(x, y, \xi, \eta)}{\partial x} d\xi d\eta, \end{aligned} \quad (2.6)$$

$$\begin{aligned} \chi(x, y) \frac{\partial f(x, y)}{\partial y} &= \int_{\Gamma} \left[f(s) \frac{\partial G_1'(x, y, s)}{\partial y} - f'(s) \frac{\partial G_1(x, y, s)}{\partial y} + \right. \\ &+ \left. g(s) \frac{\partial G_2'(x, y, s)}{\partial y} - g'(s) \frac{\partial G_2(x, y, s)}{\partial y} \right] ds + \int_{\Omega} v(\xi, \eta) \frac{\partial G_2(x, y, \xi, \eta)}{\partial y} d\xi d\eta, \end{aligned} \quad (2.7)$$

$$\chi(x, y) \frac{\partial g(x, y)}{\partial x} = \int_{\Gamma} \left[g(s) \frac{\partial G_1'(x, y, s)}{\partial x} - g'(s) \frac{\partial G_1(x, y, s)}{\partial x} \right] ds + \int_{\Omega} v(\xi, \eta) \frac{\partial G_1(x, y, \xi, \eta)}{\partial x} d\xi d\eta, \quad (2.8)$$

$$\chi(x, y) \frac{\partial g(x, y)}{\partial y} = \int_{\Gamma} \left[g(s) \frac{\partial G_1'(x, y, s)}{\partial y} - g'(s) \frac{\partial G_1(x, y, s)}{\partial y} \right] ds + \int_{\Omega} v(\xi, \eta) \frac{\partial G_1(x, y, \xi, \eta)}{\partial y} d\xi d\eta. \quad (2.9)$$

Согласно методу граничных элементов, представим границу $\Gamma = \bigcup_{j=1}^n \Gamma_j$ в виде набора прямолинейных отрезков Γ_j , а область $\Omega = \bigcup_{k=1}^m \Omega_k$ в виде набора площадных элементов Ω_k (трех- или четырехугольных). Функции $f(s)$, $f'(s)$, $g(s)$, $g'(s)$ аппроксимируем кусочно-постоянными функциями со значениями f_j , f'_j , g_j , g'_j на отрезках Γ_j , а функции $v_i(\xi, \eta)$, $i = \overline{0, 6}$, $f(\xi, \eta)$, $\partial f / \partial x(\xi, \eta)$, $\partial f / \partial y(\xi, \eta)$, $g(\xi, \eta)$, $\partial g / \partial x(\xi, \eta)$, $\partial g / \partial y(\xi, \eta)$ – кусочно-постоянными функциями со значениями v_{ik} , \tilde{f}_k , \tilde{f}_{xk} , \tilde{f}_{yk} , \tilde{g}_k , \tilde{g}_{xk} , \tilde{g}_{yk} в площадных элементах Ω_k . Тогда уравнения (2.2), (2.3), (2.6)–(2.9) с учетом (2.5) примут вид

$$\chi(x, y) f(x, y) = \sum_{j=1}^n \left\{ f_j \int_{\Gamma_j} G_1' ds - f'_j \int_{\Gamma_j} G_1 ds + g_j \int_{\Gamma_j} G_2' ds - g'_j \int_{\Gamma_j} G_2 ds \right\} + \sum_{k=1}^m \tilde{v}_k \int_{\Omega_k} G_2 d\xi d\eta, \quad (2.10)$$

$$\chi(x, y) g(x, y) = \sum_{j=1}^n \left\{ g_j \int_{\Gamma_j} G_1' ds - g'_j \int_{\Gamma_j} G_1 ds \right\} + \sum_{k=1}^m \tilde{v}_k \int_{\Omega_k} G_1 d\xi d\eta, \quad (2.11)$$

$$\chi(x, y) \frac{\partial f(x, y)}{\partial x} = \sum_{j=1}^n \left\{ f_j \int_{\Gamma_j} \frac{\partial G_1'}{\partial x} ds - f'_j \int_{\Gamma_j} \frac{\partial G_1}{\partial x} ds + g_j \int_{\Gamma_j} \frac{\partial G_2'}{\partial x} ds - g'_j \int_{\Gamma_j} \frac{\partial G_2}{\partial x} ds \right\} + \sum_{k=1}^m \tilde{v}_k \int_{\Omega_k} \frac{\partial G_2}{\partial x} d\xi d\eta, \quad (2.12)$$

$$\chi(x, y) \frac{\partial f(x, y)}{\partial y} = \sum_{j=1}^n \left\{ f_j \int_{\Gamma_j} \frac{\partial G_1'}{\partial y} ds - f'_j \int_{\Gamma_j} \frac{\partial G_1}{\partial y} ds + g_j \int_{\Gamma_j} \frac{\partial G_2'}{\partial y} ds - g'_j \int_{\Gamma_j} \frac{\partial G_2}{\partial y} ds \right\} + \sum_{k=1}^m \tilde{v}_k \int_{\Omega_k} \frac{\partial G_2}{\partial y} d\xi d\eta, \quad (2.13)$$

$$\chi(x, y) \frac{\partial g(x, y)}{\partial x} = \sum_{j=1}^n \left\{ g_j \int_{\Gamma_j} \frac{\partial G_1'}{\partial x} ds - g'_j \int_{\Gamma_j} \frac{\partial G_1}{\partial x} ds \right\} + \sum_{k=1}^m \tilde{v}_k \int_{\Omega_k} \frac{\partial G_1}{\partial x} d\xi d\eta, \quad (2.14)$$

$$\chi(x, y) \frac{\partial g(x, y)}{\partial y} = \sum_{j=1}^n \left\{ g_j \int_{\Gamma_j} \frac{\partial G_1'}{\partial y} ds - g'_j \int_{\Gamma_j} \frac{\partial G_1}{\partial y} ds \right\} + \sum_{k=1}^m \tilde{v}_k \int_{\Omega_k} \frac{\partial G_1}{\partial y} d\xi d\eta, \quad (2.15)$$

где

$$\tilde{v}_k = v_{0k} + v_{1k}\tilde{f}_k + v_{2k}f_{xk} + v_{3k}f_{yk} + v_{4k}\tilde{g}_k + v_{5k}g_{xk} + v_{6k}g_{yk}.$$

Рассмотрев выражения (2.10)–(2.11) в центрах линейных элементов Γ_i с координатами (x_{ci}, y_{ci}) , запишем

$$\begin{aligned} \sum_{j=1}^n \{A_{ij}^{(1)} f_j + B_{ij}^{(1)} f'_j + C_{ij}^{(1)} g_j + D_{ij}^{(1)} g'_j\} + \sum_{k=1}^m \{E_{ik1}^{(1)} \tilde{f}_k + E_{ik2}^{(1)} f_{xk} + E_{ik3}^{(1)} f_{yk} + E_{ik4}^{(1)} \tilde{g}_k + E_{ik5}^{(1)} g_{xk} + E_{ik6}^{(1)} g_{yk}\} = a_i, \\ \sum_{j=1}^n \{C_{ij}^{(2)} g_j + D_{ij}^{(2)} g'_j\} + \sum_{k=1}^m \{E_{ik1}^{(2)} \tilde{f}_k + E_{ik2}^{(2)} f_{xk} + E_{ik3}^{(2)} f_{yk} + E_{ik4}^{(2)} \tilde{g}_k + E_{ik5}^{(2)} g_{xk} + E_{ik6}^{(2)} g_{yk}\} = b_i, \end{aligned} \quad (2.16)$$

где $i = \overline{1, n}$. Рассмотрев выражения (2.10)–(2.15) в центрах площадных элементов Ω_l с координатами $(\tilde{x}_{cl}, \tilde{y}_{cl})$, запишем

$$\begin{aligned} \sum_{j=1}^n \{A_{lj}^{(3)} f_j + B_{lj}^{(3)} f'_j + C_{lj}^{(3)} g_j + D_{lj}^{(3)} g'_j\} + \\ + \sum_{k=1}^m \{E_{lk1}^{(3)} \tilde{f}_k + E_{lk2}^{(3)} f_{xk} + E_{lk3}^{(3)} f_{yk} + E_{lk4}^{(3)} \tilde{g}_k + E_{lk5}^{(3)} g_{xk} + E_{lk6}^{(3)} g_{yk}\} = c_l, \\ \sum_{j=1}^n \{C_{lj}^{(4)} g_j + D_{lj}^{(4)} g'_j\} + \sum_{k=1}^m \{E_{lk1}^{(4)} \tilde{f}_k + E_{lk2}^{(4)} f_{xk} + E_{lk3}^{(4)} f_{yk} + E_{lk4}^{(4)} \tilde{g}_k + E_{lk5}^{(4)} g_{xk} + E_{lk6}^{(4)} g_{yk}\} = d_l, \\ \sum_{j=1}^n \{A_{lj}^{(5)} f_j + B_{lj}^{(5)} f'_j + C_{lj}^{(5)} g_j + D_{lj}^{(5)} g'_j\} + \\ + \sum_{k=1}^m \{E_{lk1}^{(5)} \tilde{f}_k + E_{lk2}^{(5)} f_{xk} + E_{lk3}^{(5)} f_{yk} + E_{lk4}^{(5)} \tilde{g}_k + E_{lk5}^{(5)} g_{xk} + E_{lk6}^{(5)} g_{yk}\} = e_l, \quad (2.17) \\ \sum_{j=1}^n \{A_{lj}^{(6)} f_j + B_{lj}^{(6)} f'_j + C_{lj}^{(6)} g_j + D_{lj}^{(6)} g'_j\} + \\ + \sum_{k=1}^m \{E_{lk1}^{(6)} \tilde{f}_k + E_{lk2}^{(6)} f_{xk} + E_{lk3}^{(6)} f_{yk} + E_{lk4}^{(6)} \tilde{g}_k + E_{lk5}^{(6)} g_{xk} + E_{lk6}^{(6)} g_{yk}\} = h_l, \\ \sum_{j=1}^n \{C_{lj}^{(7)} g_j + D_{lj}^{(7)} g'_j\} + \sum_{k=1}^m \{E_{lk1}^{(7)} \tilde{f}_k + E_{lk2}^{(7)} f_{xk} + E_{lk3}^{(7)} f_{yk} + E_{lk4}^{(7)} \tilde{g}_k + E_{lk5}^{(7)} g_{xk} + E_{lk6}^{(7)} g_{yk}\} = q_l, \\ \sum_{j=1}^n \{C_{lj}^{(8)} g_j + D_{lj}^{(8)} g'_j\} + \sum_{k=1}^m \{E_{lk1}^{(8)} \tilde{f}_k + E_{lk2}^{(8)} f_{xk} + E_{lk3}^{(8)} f_{yk} + E_{lk4}^{(8)} \tilde{g}_k + E_{lk5}^{(8)} g_{xk} + E_{lk6}^{(8)} g_{yk}\} = t_l, \end{aligned}$$

где $l = \overline{1, m}$. Таким образом, соотношения (2.16), (2.17) представляют собой систему $2n + 6m$ линейных алгебраических уравнений (СЛАУ) относительно $4n + 6m$ неизвестных: $f_j, f'_j, g_j, g'_j, j = \overline{1, n}; \tilde{f}_k, f_{xk}, f_{yk}, \tilde{g}_k, g_{xk}, g_{yk}, k = \overline{1, m}$. Коэффициенты СЛАУ определены следующими выражениями:

$$\begin{aligned} A_{ij}^{(1)} &= \int_{\Gamma_j} G_1'(x_{ci}, y_{ci}, s) ds - \beta_i \delta_{ij}, & B_{ij}^{(1)} &= - \int_{\Gamma_j} G_1(x_{ci}, y_{ci}, s) ds, \\ C_{ij}^{(1)} &= \int_{\Gamma_j} G_2'(x_{ci}, y_{ci}, s) ds, & D_{ij}^{(1)} &= - \int_{\Gamma_j} G_2(x_{ci}, y_{ci}, s) ds, \\ E_{ikp}^{(1)} &= v_{pk} \int_{\Omega_k} G_2(x_{ci}, y_{ci}, \xi, \eta) d\xi d\eta, & a_i &= - \sum_{k=1}^m v_{0k} \int_{\Omega_k} G_2(x_{ci}, y_{ci}, \xi, \eta) d\xi d\eta, \\ C_{ij}^{(2)} &= A_{ij}^{(1)}, & D_{ij}^{(2)} &= B_{ij}^{(1)}, \end{aligned}$$

$$\begin{aligned}
E_{ikp}^{(2)} &= v_{pk} \int_{\Omega_k} G_1(x_{ci}, y_{ci}, \xi, \eta) d\xi d\eta, & b_i &= -\sum_{k=1}^m v_{0k} \int_{\Omega_k} G_1(x_{ci}, y_{ci}, \xi, \eta) d\xi d\eta, \\
A_{ij}^{(3)} &= \int_{\Gamma_j} G_1'(\tilde{x}_{cl}, \tilde{y}_{cl}, s) ds, & B_{ij}^{(3)} &= -\int_{\Gamma_j} G_1(\tilde{x}_{cl}, \tilde{y}_{cl}, s) ds, \\
C_{ij}^{(3)} &= \int_{\Gamma_j} G_2'(\tilde{x}_{cl}, \tilde{y}_{cl}, s) ds, & D_{ij}^{(3)} &= -\int_{\Gamma_j} G_2(\tilde{x}_{cl}, \tilde{y}_{cl}, s) ds, \\
E_{lkp}^{(3)} &= v_{pk} \int_{\Omega_k} G_2(\tilde{x}_{cl}, \tilde{y}_{cl}, \xi, \eta) d\xi d\eta - 2\pi\delta_{lk}\delta_{1p}, & c_l &= -\sum_{k=1}^m v_{0k} \int_{\Omega_k} G_2(\tilde{x}_{cl}, \tilde{y}_{cl}, \xi, \eta) d\xi d\eta, \\
C_{ij}^{(4)} &= A_{ij}^{(3)}, & D_{ij}^{(4)} &= B_{ij}^{(3)}, \\
E_{lkp}^{(4)} &= v_{pk} \int_{\Omega_k} G_1(\tilde{x}_{cl}, \tilde{y}_{cl}, \xi, \eta) d\xi d\eta - 2\pi\delta_{lk}\delta_{4p}, & d_l &= -\sum_{k=1}^m v_{0k} \int_{\Omega_k} G_1(\tilde{x}_{cl}, \tilde{y}_{cl}, \xi, \eta) d\xi d\eta, \\
A_{ij}^{(5)} &= \int_{\Gamma_j} \frac{\partial G_1'(\tilde{x}_{cl}, \tilde{y}_{cl}, s)}{\partial x} ds, & B_{ij}^{(5)} &= -\int_{\Gamma_j} \frac{\partial G_1(\tilde{x}_{cl}, \tilde{y}_{cl}, s)}{\partial x} ds, \\
C_{ij}^{(5)} &= \int_{\Gamma_j} \frac{\partial G_2'(\tilde{x}_{cl}, \tilde{y}_{cl}, s)}{\partial x} ds, & D_{ij}^{(5)} &= -\int_{\Gamma_j} \frac{\partial G_2(\tilde{x}_{cl}, \tilde{y}_{cl}, s)}{\partial x} ds, \\
E_{lkp}^{(5)} &= v_{pk} \int_{\Omega_k} \frac{\partial G_2(\tilde{x}_{cl}, \tilde{y}_{cl}, \xi, \eta)}{\partial x} d\xi d\eta - 2\pi\delta_{lk}\delta_{2p}, & e_l &= -\sum_{k=1}^m v_{0k} \int_{\Omega_k} \frac{\partial G_2(\tilde{x}_{cl}, \tilde{y}_{cl}, \xi, \eta)}{\partial x} d\xi d\eta, \\
A_{ij}^{(6)} &= \int_{\Gamma_j} \frac{\partial G_1'(\tilde{x}_{cl}, \tilde{y}_{cl}, s)}{\partial y} ds, & B_{ij}^{(6)} &= -\int_{\Gamma_j} \frac{\partial G_1(\tilde{x}_{cl}, \tilde{y}_{cl}, s)}{\partial y} ds, \\
C_{ij}^{(6)} &= \int_{\Gamma_j} \frac{\partial G_2'(\tilde{x}_{cl}, \tilde{y}_{cl}, s)}{\partial y} ds, & D_{ij}^{(6)} &= -\int_{\Gamma_j} \frac{\partial G_2(\tilde{x}_{cl}, \tilde{y}_{cl}, s)}{\partial y} ds, \\
E_{lkp}^{(6)} &= v_{pk} \int_{\Omega_k} \frac{\partial G_2(\tilde{x}_{cl}, \tilde{y}_{cl}, \xi, \eta)}{\partial y} d\xi d\eta - 2\pi\delta_{lk}\delta_{3p}, & h_l &= -\sum_{k=1}^m v_{0k} \int_{\Omega_k} \frac{\partial G_2(\tilde{x}_{cl}, \tilde{y}_{cl}, \xi, \eta)}{\partial y} d\xi d\eta, \\
C_{ij}^{(7)} &= A_{ij}^{(5)}, & D_{ij}^{(7)} &= B_{ij}^{(5)}, \\
E_{lkp}^{(7)} &= v_{pk} \int_{\Omega_k} \frac{\partial G_1(\tilde{x}_{cl}, \tilde{y}_{cl}, \xi, \eta)}{\partial x} d\xi d\eta - 2\pi\delta_{lk}\delta_{5p}, & q_l &= -\sum_{k=1}^m v_{0k} \int_{\Omega_k} \frac{\partial G_1(\tilde{x}_{cl}, \tilde{y}_{cl}, \xi, \eta)}{\partial x} d\xi d\eta, \\
C_{ij}^{(8)} &= A_{ij}^{(6)}, & D_{ij}^{(8)} &= B_{ij}^{(6)}, \\
E_{lkp}^{(8)} &= v_{pk} \int_{\Omega_k} \frac{\partial G_1(\tilde{x}_{cl}, \tilde{y}_{cl}, \xi, \eta)}{\partial y} d\xi d\eta - 2\pi\delta_{lk}\delta_{6p}, & t_l &= -\sum_{k=1}^m v_{0k} \int_{\Omega_k} \frac{\partial G_1(\tilde{x}_{cl}, \tilde{y}_{cl}, \xi, \eta)}{\partial y} d\xi d\eta,
\end{aligned}$$

где δ_{ij} , δ_{lk} , δ_{rp} , $r = \overline{1, 6}$ – символы Кронекера, а $v_{pk} = v_p(\tilde{x}_{ck}, \tilde{y}_{ck})$, $p = \overline{0, 6}$. Для замыкания системы уравнений необходимо добавить к ней $2n$ соотношений из двух граничных условий вида (1.2), записанных в точках (x_{ci}, y_{ci}) .

3. ВЫЧИСЛЕНИЕ ИНТЕГРАЛОВ

При численной реализации предложенного метода решения основную сложность и расчетное время как при составлении матрицы СЛАУ (2.16), (2.17), так и при нахождении искомого

функций в расчетной точке с координатами (x, y) по формулам (2.10)–(2.15) занимает вычисление интегралов от функций $G_1, G_1', G_2, G_2', \partial G_1/\partial x, \partial G_1/\partial y, \partial G_1'/\partial x, \partial G_1'/\partial y, \partial G_2/\partial x, \partial G_2/\partial y, \partial G_2'/\partial x, \partial G_2'/\partial y$ по линейным элементам Γ_j и областными элементами Ω_k . Аналитические формулы вычисления интегралов по линейным элементам получены в работе [12]. Для областных интегралов введем следующие обозначения:

$$I_1 = \int_{\Omega_k} G_1 d\xi d\eta, \quad I_2 = \int_{\Omega_k} G_2 d\xi d\eta, \quad I_3 = \int_{\Omega_k} \frac{\partial G_1}{\partial x} d\xi d\eta,$$

$$I_4 = \int_{\Omega_k} \frac{\partial G_1}{\partial y} d\xi d\eta, \quad I_5 = \int_{\Omega_k} \frac{\partial G_2}{\partial x} d\xi d\eta, \quad I_6 = \int_{\Omega_k} \frac{\partial G_2}{\partial y} d\xi d\eta.$$

Аналитическая формула для вычисления I_1 в случае, когда областным элементом является треугольник, получена в работе [10]. На основе подходов, использованных в этих работах, выведем аналитические формулы для вычисления интегралов I_2 – I_6 также для случая треугольного областного элемента.

Воспользуемся обозначениями, введенными в работе [10]. Обозначим комплексную координату расчетной точки (x, y) через $z = x + iy$, комплексные координаты вершин треугольника Ω_k через (z_1, z_2, z_3) , комплексную координату текущей точки интегрирования (ξ, η) в треугольнике – $z^* = \xi + i\eta$. Порядок индексации вершин треугольника должен быть таков, чтобы при обходе вершин с возрастанием индекса внутренность треугольника оставалась слева. Для сокращения записи введем новую комплексную координату $\zeta = z^* - z$, т.е. перейдем в новую комплексную плоскость, в которой начало координат $\zeta = 0$ совпадает с расчетной точкой z . Тогда новые координаты вершин треугольника запишутся в виде (фиг. 1а)

$$\zeta_1 = z_1 - z, \quad \zeta_2 = z_2 - z, \quad \zeta_3 = z_3 - z.$$

Так же обозначим

$$\zeta_{21} = \zeta_2 - \zeta_1 = l_1 e^{i\gamma_1}, \quad \zeta_{32} = \zeta_3 - \zeta_2 = l_2 e^{i\gamma_2}, \quad \zeta_{13} = \zeta_1 - \zeta_3 = l_3 e^{i\gamma_3}, \tag{3.1}$$

где $l_1, l_2, l_3, \gamma_1, \gamma_2, \gamma_3$ – длины сторон треугольника и углы, которые они образуют с горизонталью соответственно. Во введенных обозначениях выражение для вычисления интеграла I_1 в случае, когда z располагается снаружи треугольника, следующее [10]:

$$I_1 = -\frac{1}{4} \operatorname{Re} \left\{ |\sin(\gamma_2 - \gamma_1)| e^{-i(\gamma_2 + \gamma_1)} \left(\frac{\zeta_{21}}{\zeta_{13}} [\zeta^2 (2 \ln \zeta - 3)]_{\zeta_1}^{\zeta_3} + [\zeta^2 (2 \ln \zeta - 3)]_{\zeta_1}^{\zeta_2} \right) \right\}, \tag{3.2}$$

а когда z совпадает с одним из углов, например, с z_1 имеем

$$I_1 = \frac{1}{4} \operatorname{Re} \left\{ |\sin(\gamma_2 - \gamma_1)| e^{-i(\gamma_2 + \gamma_1)} \zeta_2 [\zeta (2 \ln \zeta - 3)]_{\zeta_2}^{\zeta_3} \right\}. \tag{3.3}$$

Здесь и ниже использовано обозначение, введенное в [10], [12]

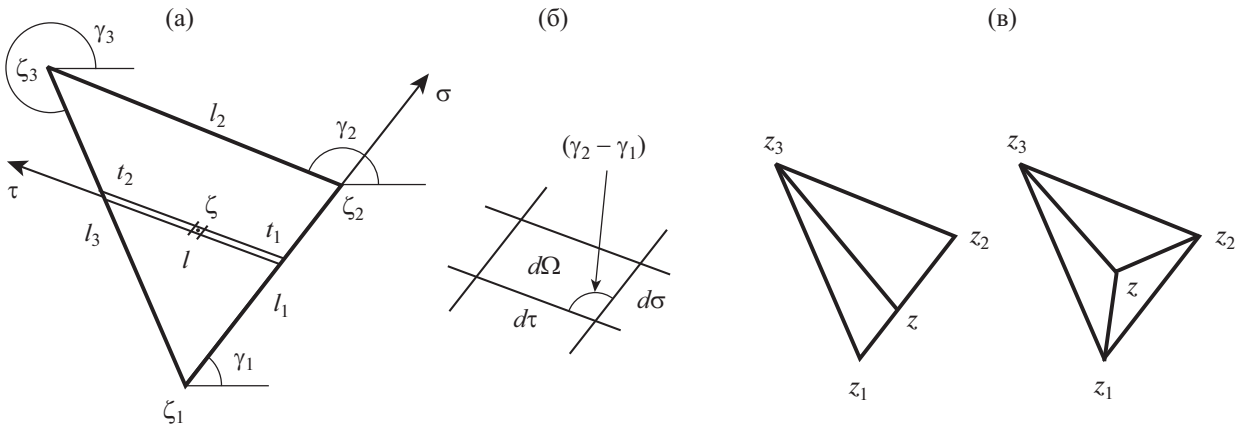
$$[f(\zeta)]_{t_1}^{t_2} = f(t_2) - f(t_1).$$

Вычислим интеграл I_2 . Рассмотрим сначала случай, когда расчетная точка z находится снаружи треугольника. Для выполнения интегрирования введем локальные оси координат: ось σ , направленную вдоль стороны $\zeta_1 \zeta_2$ треугольника, и ось τ , направленную параллельно стороне $\zeta_2 \zeta_3$ треугольника, но проходящую через текущую точку интегрирования ζ . Элементарной площадью интегрирования является параллелограмм со сторонами $d\sigma$ и $d\tau$ и углом $(\gamma_2 - \gamma_1)$ между ними (фиг. 1б), тогда площадь этого элемента равна

$$d\Omega = |\sin(\gamma_2 - \gamma_1)| d\tau d\sigma. \tag{3.4}$$

Из (2.4) имеем

$$G_2 = \frac{1}{4} \operatorname{Re} \{ \zeta \bar{\zeta} (\ln \zeta - 1) \}.$$



Фиг. 1. Интегрирование по треугольнику.

Здесь и далее черта сверху означает комплексное сопряжение. Вывод аналитического выражения для вычисления интеграла I_2 проведем, следуя методике вычисления интеграла I_1 в [10]. Подставив последнее выражение в I_2 с учетом (3.4), запишем

$$I_2 = \frac{1}{4} |\sin(\gamma_2 - \gamma_1)| \operatorname{Re} J, \quad J = \int_0^{l_1} \int_0^{l_1} \zeta \bar{\zeta} (\ln \zeta - 1) d\tau d\sigma, \tag{3.5}$$

где l – длина отрезка интегрирования вдоль оси τ . Так как при интегрировании вдоль оси τ дифференциал $d\zeta = e^{i\gamma_2} d\tau$, то перейдем во внутреннем интеграле к интегрированию по комплексной переменной ζ :

$$J = \int_0^{l_1} e^{-i\gamma_2} J_1 d\sigma, \quad J_1 = \int_{t_1}^{t_2} \zeta \bar{\zeta} (\ln \zeta - 1) d\zeta.$$

Подынтегральная функция в J_1 не является аналитической, поэтому, воспользовавшись способом вычисления подобного интеграла по частям, приведенным в [12], найдем

$$J_1 = \frac{1}{4} \left[\zeta^2 \bar{\zeta} (2 \ln \zeta - 3) - \frac{\zeta^3 e^{-2i\gamma_2}}{9} (6 \ln \zeta - 11) \right]_{t_1}^{t_2}.$$

Для комплексных координат t_1 и t_2 (начальной и конечной точек интегрирования на оси τ) имеет место соотношение

$$t_1 = \zeta_1 + \sigma e^{i\gamma_1}, \quad t_2 = t_1 + \frac{\zeta_{32}}{\zeta_{21}} (t_1 - \zeta_1),$$

откуда

$$dt_1 = e^{i\gamma_1} d\sigma, \quad dt_2 = -\frac{\zeta_{13}}{\zeta_{21}} e^{i\gamma_1} d\sigma.$$

При вычислении интеграла по переменной σ перейдем к интегрированию по комплексным переменным t_1 и t_2 . С учетом последних соотношений подставим найденное значение интеграла J_1 в J :

$$J = -\frac{e^{-i(\gamma_2 + \gamma_1)}}{4} \left[\frac{\zeta_{21}}{\zeta_{13}} \left(J_2 - \frac{e^{-2i\gamma_2}}{9} J_3 \right) + J_4 - \frac{e^{-2i\gamma_2}}{9} J_5 \right], \tag{3.6}$$

где

$$J_2 = \int_{\zeta_1}^{\zeta_3} t_2^2 \bar{t}_2 (2 \ln t_2 - 3) dt_2, \quad J_3 = \int_{\zeta_1}^{\zeta_3} t_2^3 (6 \ln t_2 - 11) dt_2,$$

$$J_4 = \int_{\zeta_1}^{\zeta_2} t_1^2 \bar{t}_1 (2 \ln t_1 - 3) dt_1, \quad J_5 = \int_{\zeta_1}^{\zeta_2} t_1^3 (6 \ln t_1 - 11) dt_1.$$

Вычислив эти интегралы

$$J_2 = \frac{1}{9} \left[\zeta^3 \bar{\zeta} (6 \ln \zeta - 11) - \frac{e^{-2i\gamma_3}}{8} \zeta^4 (12 \ln \zeta - 25) \right]_{\zeta_1}^{\zeta_3},$$

$$J_4 = \frac{1}{9} \left[\zeta^3 \bar{\zeta} (6 \ln \zeta - 11) - \frac{e^{-2i\gamma_1}}{8} \zeta^4 (12 \ln \zeta - 25) \right]_{\zeta_1}^{\zeta_2},$$

$$J_3 = \frac{1}{8} [\zeta^4 (12 \ln \zeta - 25)]_{\zeta_1}^{\zeta_3}, \quad J_5 = \frac{1}{8} [\zeta^4 (12 \ln \zeta - 25)]_{\zeta_1}^{\zeta_2}$$

и подставив их в (3.6), а затем полученное выражение в (3.5), в итоге найдем

$$I_2 = -\frac{1}{144} |\sin(\gamma_2 - \gamma_1)| \operatorname{Re} \left\{ e^{-i(\gamma_2 + \gamma_1)} \left(\frac{\zeta_{21}}{\zeta_{13}} J_6 + J_7 \right) \right\},$$

$$J_6 = [\zeta^3 \bar{\zeta} (6 \ln \zeta - 11) - F(\zeta_3) \zeta^4 (12 \ln \zeta - 25)]_{\zeta_1}^{\zeta_3},$$

$$J_7 = [\zeta^3 \bar{\zeta} (6 \ln \zeta - 11) - F(\zeta_2) \zeta^4 (12 \ln \zeta - 25)]_{\zeta_1}^{\zeta_2},$$
(3.7)

где

$$F(\zeta_1) = \frac{e^{-2i\gamma_1} + e^{-2i\gamma_3}}{8}, \quad F(\zeta_2) = \frac{e^{-2i\gamma_2} + e^{-2i\gamma_1}}{8}, \quad F(\zeta_3) = \frac{e^{-2i\gamma_3} + e^{-2i\gamma_2}}{8}. \quad (3.8)$$

Если текущая точка z совпадает с одним из углов треугольника, то формула вычисления интеграла упрощается. Для случая, когда z совпадает с вершиной z_1 , с учетом (3.1) имеем

$$\zeta_1 = 0, \quad \zeta_{21} = \zeta_2, \quad \zeta_{13} = -\zeta_3. \quad (3.9)$$

Подставив эти значения в (3.7) и упростив выражение, с учетом (3.8) получим

$$I_2 = \frac{1}{144} |\sin(\gamma_2 - \gamma_1)| \operatorname{Re} \left\{ e^{-i(\gamma_2 + \gamma_1)} \zeta_2^2 [\zeta^2 \bar{\zeta} (6 \ln \zeta - 11) - \zeta^3 (12 \ln \zeta - 25) F(\zeta)]_{\zeta_2}^{\zeta_3} \right\}. \quad (3.10)$$

Для применения этой формулы в случае совпадения z с z_2 или с z_3 достаточно циклически переиндексировать вершины треугольника. Если текущая точка z располагается на одной из сторон треугольника или внутри него, то этот треугольник необходимо разбить на два или три треугольника (см. фиг. 1в) и вычислить интеграл как сумму двух или трех интегралов с учетом формулы (3.10).

Для вычисления интегралов $I_3 - I_6$ продифференцируем формулы (3.2), (3.3), (3.7), (3.10) по x и y с учетом соотношений

$$\frac{d\zeta}{dx} = -1, \quad \frac{d\bar{\zeta}}{dx} = -1, \quad \frac{d\zeta}{dy} = -i, \quad \frac{d\bar{\zeta}}{dy} = i.$$

В итоге для случая, когда z расположена снаружи треугольника, получим

$$I_3 = \operatorname{Re} J_8, \quad I_4 = -\operatorname{Im} J_8,$$

$$I_5 = \frac{1}{144} |\sin(\gamma_2 - \gamma_1)| \operatorname{Re} \left\{ e^{-i(\gamma_2 + \gamma_1)} \left(\frac{\zeta_{21}}{\zeta_{13}} ((1 - 8F(\zeta_3))J_9 + J_{10}) + (1 - 8F(\zeta_2))J_{11} + J_{12} \right) \right\},$$

$$I_6 = -\frac{1}{144} |\sin(\gamma_2 - \gamma_1)| \operatorname{Im} \left\{ e^{-i(\gamma_2 + \gamma_1)} \left(\frac{\zeta_{21}}{\zeta_{13}} ((1 + 8F(\zeta_3))J_9 - J_{10}) + (1 + 8F(\zeta_2))J_{11} - J_{12} \right) \right\},$$

где

$$J_8 = |\sin(\gamma_2 - \gamma_1)| e^{-i(\gamma_2 + \gamma_1)} \left(\frac{\zeta_{21}}{\zeta_{13}} [\zeta(\ln \zeta - 1)]_{\zeta_1}^{\zeta_3} + [\zeta(\ln \zeta - 1)]_{\zeta_1}^{\zeta_2} \right),$$

$$J_9 = [\zeta^3(6 \ln \zeta - 1)]_{\zeta_1}^{\zeta_3}, \quad J_{10} = 9[\zeta^2 \bar{\zeta}(2 \ln \zeta - 3)]_{\zeta_1}^{\zeta_3},$$

$$J_{11} = [\zeta^3(6 \ln \zeta - 1)]_{\zeta_1}^{\zeta_2}, \quad J_{12} = 9[\zeta^2 \bar{\zeta}(2 \ln \zeta - 3)]_{\zeta_1}^{\zeta_2}.$$

Для случая, когда z совпадает с z_1 , с учетом (3.9) имеем

$$I_3 = -\operatorname{Re} J_{13}, \quad I_4 = \operatorname{Im} J_{13},$$

$$I_5 = -\frac{1}{144} |\sin(\gamma_2 - \gamma_1)| \operatorname{Re} \left\{ e^{-i(\gamma_2 + \gamma_1)} \zeta_2 (J_{14} + J_{15} - J_{16}) \right\},$$

$$I_6 = \frac{1}{144} |\sin(\gamma_2 - \gamma_1)| \operatorname{Im} \left\{ e^{-i(\gamma_2 + \gamma_1)} \zeta_2 (-J_{14} + J_{15} - J_{16}) \right\},$$

где

$$J_{13} = |\sin(\gamma_2 - \gamma_1)| e^{-i(\gamma_2 + \gamma_1)} \zeta_2 [\ln \zeta]_{\zeta_2}^{\zeta_3},$$

$$J_{14} = [\zeta^2(6 \ln \zeta - 1)]_{\zeta_2}^{\zeta_3}, \quad J_{15} = 9[\zeta \bar{\zeta}(2 \ln \zeta - 3)]_{\zeta_2}^{\zeta_3},$$

$$J_{16} = 8[\zeta^2(6 \ln \zeta - 1)F(\zeta)]_{\zeta_2}^{\zeta_3}.$$

Для вычисления интегралов $I_1 - I_6$ по четырехугольному элементу достаточно разбить его на два треугольника по любой из диагоналей.

4. ТЕСТОВЫЙ РАСЧЕТ

В тестовом расчете в качестве области $\Omega = \{0 \leq x \leq 1; 0 \leq y \leq 1\}$ возьмем квадрат с единичной стороной, левый нижний угол которого совпадает с началом координат. Каждую из сторон квадрата разобьем на равное количество n_1 линейных элементов одинаковой длины, тогда общее число линейных элементов будет равно $n = 4n_1$. Расчетную область покроем равномерной квадратной сеткой размерности $(n_1 \times n_1)$, состоящей из одинаковых четырехугольных элементов. Таким образом, общее количество площадных элементов равно $m = n_1^2$. Для оценки точности введем величины абсолютной и относительной погрешностей:

$$\varepsilon_a^f = \max_k |f(x_k, y_k) - f_a(x_k, y_k)|, \quad (4.1)$$

$$\varepsilon_e^f = \frac{1}{K} \sum_k \left| \frac{f(x_k, y_k) - f_a(x_k, y_k)}{f_{\max}} \right|, \quad (4.2)$$

где $f_a(x, y)$ – аналитическое решение, а $f_{\max} = \max_{(x, y) \in \Omega} f_a(x, y)$. В качестве набора контрольных точек (x_k, y_k) , $k = \overline{1, K}$, выберем точки, лежащие в углах областных элементов и образующие равномерную квадратную сетку размерности $((n_1 + 1) \times (n_1 + 1))$, покрывающую область Ω . Аналогично введем абсолютную ε_a^g и относительную ε_e^g погрешности для функции $g(x, y)$.

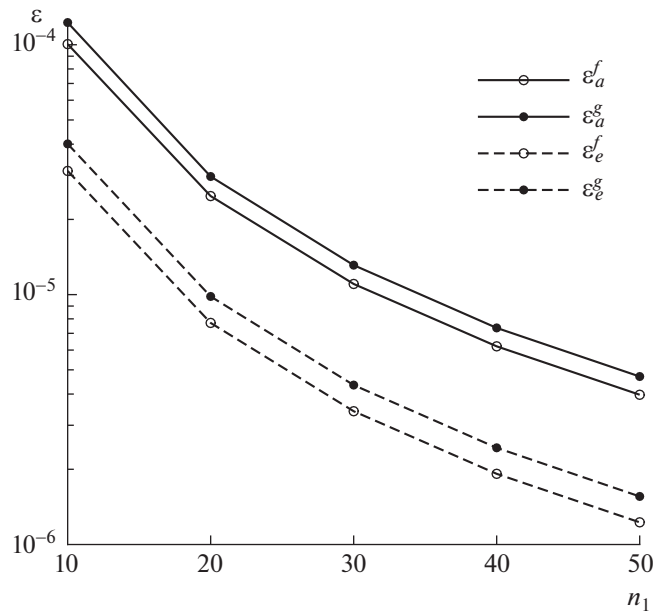
В тестовой серии расчетов проведено решение неоднородного бигармонического уравнения (0.1) с правой частью (1.1), в которой функции $v_i = v_i(x, y)$, $i = \overline{0, 6}$, приняты равными

$$v_0 = x^2 y^2 \cos x, \quad v_1 = x, \quad v_2 = \sin x, \quad v_3 = y,$$

$$v_4 = \cos x, \quad v_5 = x^2 y, \quad v_6 = xy$$

и подобраны так, чтобы решением неоднородного бигармонического уравнения была функция

$$f_a(x, y) = -g_a(x, y) = y \sin x.$$



Фиг. 2. Зависимости погрешностей в тестовом расчете от n_1 .

В качестве граничных зададим следующие условия:

$$f|_{\Gamma} = f_a(x_1(s), y_1(s)), \quad \Delta f|_{\Gamma} = g_a(x_1(s), y_1(s)).$$

В ходе тестовых расчетов определялись значения погрешностей $\epsilon_a^f, \epsilon_a^g, \epsilon_e^f, \epsilon_e^g$ в зависимости от параметра n_1 , определяющего детальность разбиения границы Γ и области Ω на линейные и областные элементы. На фиг. 2 представлены результаты вычислений для значений $n_1 = 10, 20, 30, 40, 50$. Как видно из фигуры, абсолютная и относительная погрешности для функций $f(x, y)$ и $g(x, y)$ не велики и уменьшаются с ростом числа разбиений, что свидетельствует о хорошей точности и сеточной сходимости разработанного метода.

5. РАСЧЕТ ФИЛЬТРАЦИОННОГО ТЕЧЕНИЯ В РАМКАХ МОДЕЛИ БРИНКМАНА В НЕОДНОРОДНОЙ ПОРИСТОЙ СРЕДЕ

Продемонстрируем возможности предложенного метода на примере двумерной задачи о фильтрации жидкости в пористой области с неоднородным распределением проницаемости в рамках модели Бринкмана [13]

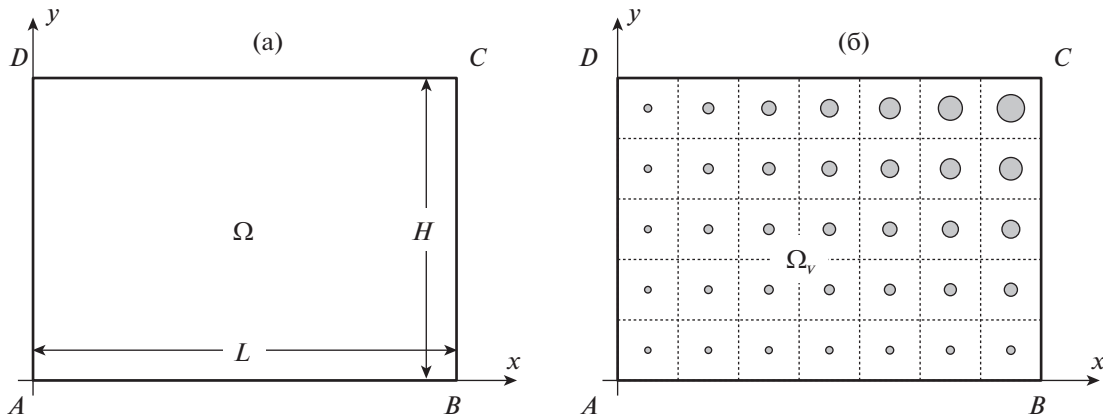
$$-\nabla p - \frac{\mu}{k} \mathbf{u} + \mu_b \Delta \mathbf{u} = 0, \tag{5.1}$$

$$\text{div } \mathbf{u} = 0, \tag{5.2}$$

где $\mathbf{u} = (u_x, u_y)$ – вектор скорости фильтрации жидкости, p – давление, μ – вязкость жидкости, $\mu_b = \mu_b(x, y)$ – эффективная вязкость фильтрационного потока, $k = k(x, y)$ – проницаемость пористой среды. В качестве расчетной выберем прямоугольную область $\Omega = \{0 \leq x \leq L; 0 \leq y \leq H\}$ (фиг. 3а). Будем считать, что жидкость течет в области Ω слева направо, поступая через отрезок AD и выходя через отрезок BC , а горизонтальные участки границы AB и CD являются линиями тока. Расход потока задан и равен Q .

На основании уравнения неразрывности (5.2) введем функцию тока ψ и завихренности ω равенствами

$$u_x = \frac{\partial \psi}{\partial y}, \quad u_y = -\frac{\partial \psi}{\partial x}, \quad \omega = \frac{\partial u_y}{\partial x} - \frac{\partial u_x}{\partial y} = -\Delta \psi. \tag{5.3}$$



Фиг. 3. Расчетные области Ω (а) и Ω_v (б).

Выбрав в качестве характерных размерных величин высоту H области и среднюю скорость потока $U = Q/H$, перейдем к безразмерным переменным

$$\begin{aligned} \bar{x} &= \frac{x}{H}, & \bar{y} &= \frac{y}{H}, & \bar{\mathbf{u}} &= \frac{\mathbf{u}}{U}, & \bar{\Psi} &= \frac{\Psi}{UH}, & \bar{\omega} &= \frac{H}{U} \omega, \\ \bar{p} &= \frac{H}{U\mu} p, & \bar{\mu}_b &= \frac{\mu_b}{\mu}, & \bar{k} &= \frac{k}{H^2}. \end{aligned} \quad (5.4)$$

В дальнейшем черточки опустим и будем работать с безразмерными величинами.

Перепишем закон Бринкмана (5.1) с учетом (5.3) в виде

$$\frac{\partial p}{\partial x} = -\frac{1}{k} \frac{\partial \Psi}{\partial y} - \mu_b \frac{\partial \omega}{\partial y}, \quad \frac{\partial p}{\partial y} = \frac{1}{k} \frac{\partial \Psi}{\partial x} + \mu_b \frac{\partial \omega}{\partial x}.$$

Исключив из этих уравнений давление p и выразив член со старшей производной, получим

$$\Delta^2 \Psi = -\frac{1}{k^2 \mu_b} \left(\frac{\partial k}{\partial x} \frac{\partial \Psi}{\partial x} + \frac{\partial k}{\partial y} \frac{\partial \Psi}{\partial y} \right) - \frac{1}{k \mu_b} \omega + \frac{1}{\mu_b} \left(\frac{\partial \mu_b}{\partial x} \frac{\partial \omega}{\partial x} + \frac{\partial \mu_b}{\partial y} \frac{\partial \omega}{\partial y} \right). \quad (5.5)$$

Это уравнение является неоднородным бигармоническим уравнением вида (0.1), где с учетом (1.1)

$$\begin{aligned} f &= \Psi, & g &= -\omega, & v_0 &= v_1 = 0, & v_2 &= -\frac{1}{k^2 \mu_b} \frac{\partial k}{\partial x}, & v_3 &= -\frac{1}{k^2 \mu_b} \frac{\partial k}{\partial y}, \\ v_4 &= \frac{1}{k \mu_b}, & v_5 &= -\frac{1}{\mu_b} \frac{\partial \mu_b}{\partial x}, & v_6 &= -\frac{1}{\mu_b} \frac{\partial \mu_b}{\partial y}. \end{aligned}$$

Отметим, что если считать пористую среду однородной, то $v_2 = v_3 = v_5 = v_6 \equiv 0$ и уравнение (5.5) перейдет в известное уравнение Бринкмана

$$\Delta^2 \Psi - S^2 \Delta \Psi = 0,$$

где $S^2 = (k \mu_b)^{-1}$.

Искомая функция $\psi(x, y)$ удовлетворяет в области Ω уравнению (5.5), а на ее границе следующим граничным условиям. На входном участке AD границы

$$\Psi = q(y), \quad \frac{\partial \Psi}{\partial n} = 0, \quad (5.6)$$

что соответствует заданному профилю скорости потока $u_x(0, y) = \frac{dq}{dy}$, $u_y(0, y) \equiv 0$, где $q(y)$ – известная монотонно возрастающая функция, удовлетворяющая условиям $q(0) = 0$, $q(1) = 1$. На выходном участке BC границы зададим мягкие граничные условия

$$\frac{\partial \Psi}{\partial n} = 0, \quad \frac{\partial \omega}{\partial n} = 0. \tag{5.7}$$

На участках AB и CD потребуем выполнения условий непротекания

$$\psi = 0, \quad \omega = 0, \tag{5.8}$$

$$\psi = 1, \quad \omega = 0 \tag{5.9}$$

соответственно. Для решения краевой задачи (5.5)–(5.7) используем метод, описанный в разд. 2.

Для оценки точности численного решения получим решение этой же задачи с использованием микроскопического подхода, формируя пористую среду, составленную множеством цилиндров. Течение вязкой жидкости в межпоровом пространстве описывается в рамках модели Стокса

$$-\nabla p + \Delta \mathbf{v} = 0, \tag{5.10}$$

$$\operatorname{div} \mathbf{v} = 0, \tag{5.11}$$

где $\mathbf{v} = (v_x, v_y)$ – истинная скорость вязкой жидкости. На основании равенства (5.11), записав соотношения, аналогичные (5.3), введем функцию тока ψ_s и завихренности ω_s вязкого течения. Из (5.10) следует, что функция тока удовлетворяет однородному бигармоническому уравнению

$$\Delta^2 \psi_s = 0. \tag{5.12}$$

Рассмотрим модельную пористую среду, представляющую собой периодическую структуру продублированных в вертикальном и горизонтальном направлениях элементарных ячеек (ЭЯ), каждая из которых содержит твердое включение. Для настоящего расчета будем полагать, что ЭЯ имеет форму квадрата со стороной h , в центре которого расположено круговое включение радиуса r . Такая пористая среда аналогична модельной пористой среде конфигурации S1 в работе [14], однако, радиусы круговых включений в ЭЯ будем полагать различными, что позволит моделировать заданное неоднородное распределение проницаемости $k(x, y)$ пористой среды. Таким образом, расчетная область Ω полностью покрыта квадратной сеткой ЭЯ размерности $(n_x \times n_y)$, где $n_x = L/h$, $n_y = H/h$ (фиг. 3б). Для каждой ЭЯ локальное значение объемной концентрации твердых включений определим по формуле

$$\phi = \frac{\pi r^2}{h^2}, \tag{5.13}$$

тогда локальное значение пористости $m = 1 - \phi$.

Дадим следующую математическую постановку задачи вычислительного эксперимента. Требуется определить функцию тока $\psi_s(x, y)$, удовлетворяющую уравнению (5.12) в области Ω_v – межпоровом пространстве пористой среды в области Ω . На участках внешней границы области Ω_v потребуем выполнения граничных условий (5.6), (5.7). На поверхности каждого твердого включения ℓ_k , $k = 1, n_x n_y$, зададим условия прилипания

$$\psi_s = \psi_k, \quad \frac{\partial \psi_s}{\partial n} = 0,$$

где ψ_k – неизвестное заранее значение функции тока на поверхности k -го включения. Для решения этой задачи используем метод граничных элементов (МГЭ) по аналогии с тем, как это было сделано в работах [12], [14]. Для твердых включений малого размера, для которых вычисленное по формуле (5.13) значение концентрации $\phi < 0.01$, воспользуемся подходом МГЭ с представлением неизвестных функций на границе включений усеченным рядом Фурье, описанным в [15]. Это позволит снизить количество искомых неизвестных без потери точности расчета.

По рассчитанной в области Ω_v функции $\psi_s(x, y)$ построим осредненную функцию $\tilde{\psi}_s(x, y)$, определенную во всех точках области Ω , способом, описанным в [15]. Значения функции $\tilde{\psi}_s(x, y)$ возьмем равными значениям $\psi_s(x, y)$ в угловых точках и серединах сторон всех ЭЯ, а в их цен-

трах – соответствующим значениям ψ_k на поверхностях твердых включений, содержащихся в каждой ЭЯ. Перечисленные точки покрывают всю область Ω равномерной квадратной сеткой. В остальных точках области Ω осредненная функция тока строится билинейной интерполяцией по найденным значениям в узлах этой сетки. Будем называть решение в рамках микроскопического подхода вычислительным экспериментом.

Для сравнения решим также поставленную задачу в рамках модели Дарси. Уравнение для функции тока ψ_d фильтрационного течения по этой модели в случае неоднородного распределения проницаемости приведено в работе [11] и во введенных безразмерных переменных (5.4) имеет вид

$$\Delta\psi_d = \frac{1}{k} \left(\frac{\partial k}{\partial x} \frac{\partial \psi_d}{\partial x} + \frac{\partial k}{\partial y} \frac{\partial \psi_d}{\partial y} \right). \quad (5.14)$$

Математическая постановка задачи следующая. Требуется определить функцию тока $\psi_d(x, y)$, удовлетворяющую в области Ω уравнению (5.14), а на ее границе граничным условиям:

$$AB: \psi_d = 0, \quad BC: \frac{\partial \psi_d}{\partial n} = 0, \quad CD: \psi_d = 1, \quad AD: \psi_d = q(y).$$

Уравнение (5.14) представляет собой уравнение Пуассона с неизвестными функциями в правой части. Для его решения также воспользуемся МГОЭ, изложение которого для решения этого уравнения приведено в [11].

Зададим неоднородное распределение проницаемости в виде следующей зависимости:

$$k(x, y) = k_{\min} + k_0 \left(\frac{x}{L}, \frac{y}{H} \right) (k_{\max} - k_{\min}), \quad (5.15)$$

где k_{\min} и k_{\max} – заданные минимальное и максимальное значения проницаемости в области Ω , а

$$k_0(\xi, \eta) = 1 - \varphi(\xi)\varphi(\eta), \quad \varphi(\xi) = \begin{cases} 2^{p-1}\xi^p, & 0 \leq \xi \leq 0.5, \\ 1 - 2^{p-1}(1 - \xi)^p, & 0.5 < \xi \leq 1. \end{cases}$$

График функции $\varphi(\xi)$ для $p = 4$ и изолинии функции $k_0(\xi, \eta)$ приведены на фиг. 4.

Для проведения расчетов в рамках микроскопического подхода необходимо задать радиус твердого включения в каждой ЭЯ, исходя из локального значения проницаемости $k(x_i, y_j)$, вычисленного по формуле (5.15) в центре ЭЯ с координатами $x_i = (i - 0.5)h$, $i = \overline{1, n_x}$, $y_j = (j - 0.5)h$, $j = \overline{1, n_y}$. Для высокопористых сред, пористость m которых близка к единице, значение проницаемости с большой степенью точности можно определить по формуле из работы [16], которая во введенных безразмерных переменных с учетом (5.13) имеет вид

$$k(\phi) = \frac{1}{8\pi\kappa^2} \left(-\ln \phi - 1.476 + 2\phi - 1.774\phi^2 + 4.076\phi^3 \right), \quad (5.16)$$

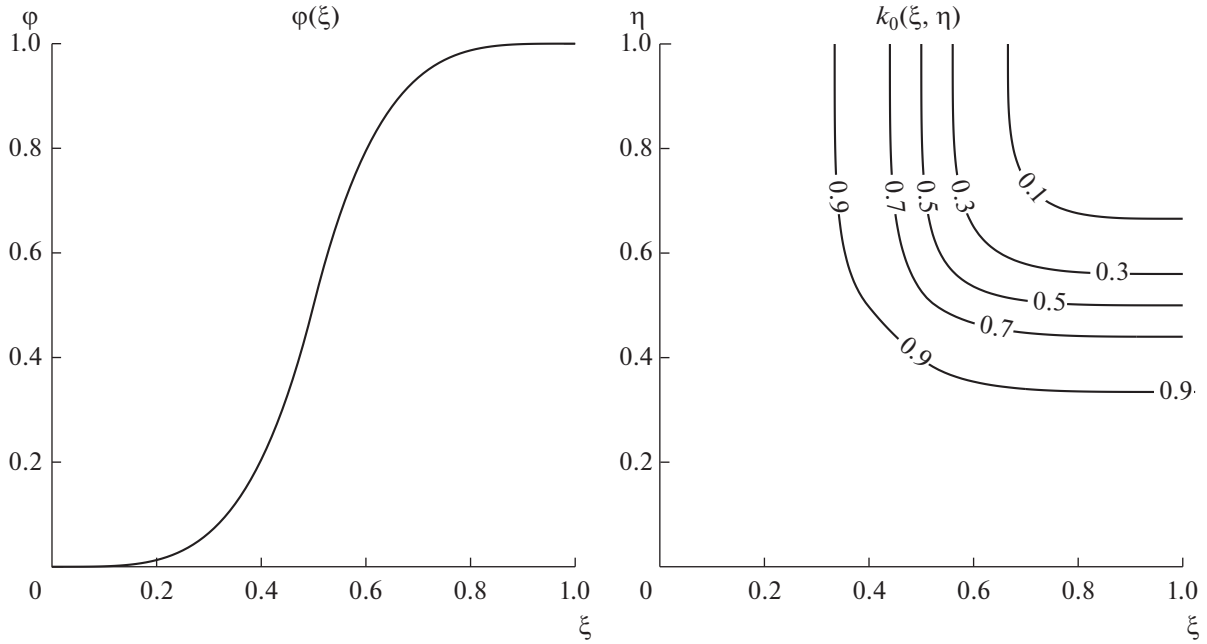
где $\kappa = H/h$ – безразмерный геометрический параметр, определяющий отношение характерного линейного размера задачи к размеру ЭЯ. Из выражения (5.13) получим формулу для вычисления радиуса твердого включения

$$r(k) = h \sqrt{\frac{\phi(k)}{\pi}},$$

где $\phi(k)$ – функция, обратная к (5.16).

Для вычисления эффективной вязкости воспользуемся формулой

$$\mu_b(k) = \left[1 + \left(\frac{\kappa\kappa^2}{\lambda_*^2} \right)^{-B} \right]^{1/B},$$



Фиг. 4. График функции $\varphi(\xi)$ и изолинии функции $k_0(\xi, \eta)$ для $p = 4$.

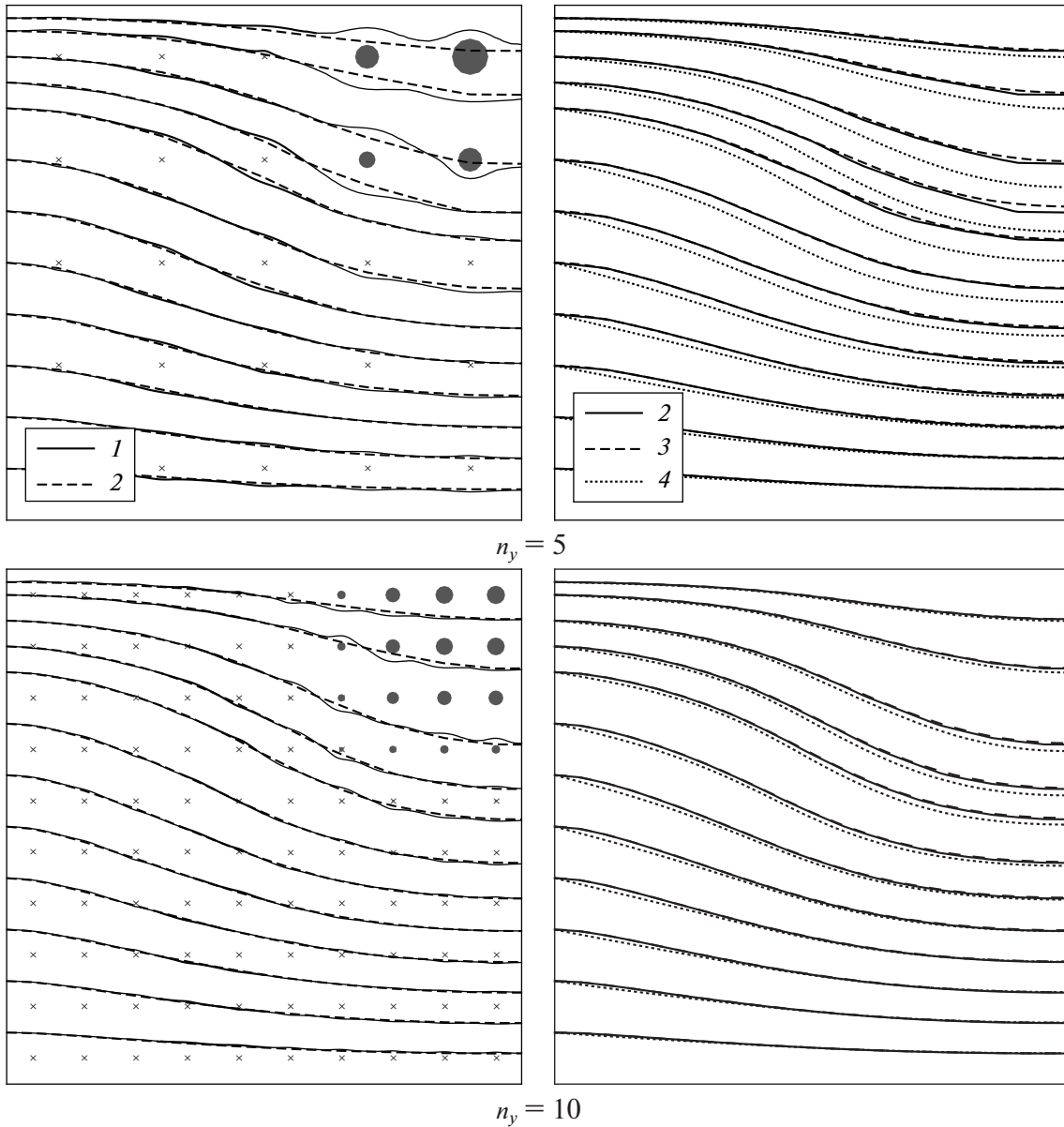
полученной в работе [14], где для рассматриваемой конфигурации модельной пористой среды $B = 2.46, \lambda_* = 0.375$. Тогда имеем

$$\frac{\partial \mu_b}{\partial x} = \frac{d\mu_b}{dk} \frac{\partial k}{\partial x}, \quad \frac{\partial \mu_b}{\partial y} = \frac{d\mu_b}{dk} \frac{\partial k}{\partial y}.$$

При проведении расчетов положим $L = 1$, т.е. $n_x = n_y$. Сетка граничных и областных элементов для всех трех моделей построим аналогично тому, как это было сделано в тестовых расчетах в разд. 4, положив $n_1 = 20, 40, 60$. В вычислительном эксперименте каждую сторону внешней границы разобьем на $n_1 = 100$ линейных элементов, а границы крупных твердых включений, расположенных в ЭЯ с локальным значением концентрации $\phi \geq 0.01$, аппроксимируем $n_2 = 30$ линейными элементами. Значения k_{\min} и k_{\max} определим по формуле (5.16) для фиксированных предельных значений концентраций $\phi_{\min} = 10^{-6}, \phi_{\max} = 0.1$ и различных $k = n_y$.

Для оценки точности расчетов найдем погрешности $\epsilon_a^\Psi, \epsilon_a^{\Psi^d}, \epsilon_e^\Psi$ и $\epsilon_e^{\Psi^d}$ по формулам (4.1), (4.2), где в качестве численного решения положим $f = \psi(x, y)$ (модель Бринкмана) и $f = \psi_d(x, y)$ (модель Дарси) соответственно. В качестве тестового решения примем $f_a = \tilde{\psi}_s(x, y)$, полученную из вычислительного эксперимента. При этом максимальное значение функции тока для всех моделей в силу постановки задачи $\psi_{\max} = 1$.

На фиг. 5 приведены результаты расчетов для $n_y = 5$ (сверху) и $n_y = 10$ (снизу) в случае $n_1 = 40$. На левых графиках представлены результаты вычислительных экспериментов. Сплошными линиями показаны линии тока детального течения вязкой жидкости в межпоровом пространстве, а штриховыми линиями – изолинии осредненной функции тока $\tilde{\psi}_s(x, y)$. Твердые включения изображены серым цветом, а их положения в случае их малого размера помечены символом “x”. Из фигур видно, что изолинии осредненной функции тока повторяют общее поведение линий тока детального расчета, а в областях с высокой проницаемостью (т.е. с низкой концентрацией твердых включений) практически совпадают с ними. На правых графиках приведено сравнение изолиний осредненной функции тока $\tilde{\psi}_s(x, y)$ (сплошная линия) с линиями тока фильтрационных течений по моделям Бринкмана (штриховые линии) и Дарси (пунктирные линии), построенных как изолинии функций $\psi(x, y)$ и $\psi_d(x, y)$ соответственно. Из фигур видно, что результаты расчета по модели Бринкмана с большей степенью точности совпадают с результатами вычисли-



Фиг. 5. Сравнение линий тока течения по модели Дарси и Бринкмана с результатами вычислительного эксперимента для $n_y = 5, 10$: 1 – вычислительный эксперимент, 2 – изолинии осредненной функции тока в вычислительном эксперименте, 3 – модель Бринкмана, 4 – модель Дарси.

тельного эксперимента, чем результаты по модели Дарси. Отметим, что линии тока, построенные по модели Бринкмана, визуально совпадают с изолиниями функции $\tilde{\psi}_s$ практически всюду за исключением небольшой области больших градиентов функции $k(x, y)$ (см. фиг. 4) при $n_y = 5$, а при $n_y = 10$ – во всей расчетной области. Линии тока по модели Дарси не совпадают с изолиниями $\tilde{\psi}_s$ во всей области Ω , однако, различие становится меньше с увеличением n_y .

В табл. 1 представлены значения погрешностей ϵ_a^Ψ , $\epsilon_a^{\Psi d}$, ϵ_e^Ψ и $\epsilon_e^{\Psi d}$ для значений $n_y = 5, 10, 15, 20$. Видно, что с увеличением n_y (т.е. с увеличением κ) погрешности по моделям Дарси и Бринкмана уменьшаются. При этом погрешность модели Бринкмана во всех расчетах в несколько раз меньше погрешности модели Дарси. Аналогичные выводы были сделаны и в работе [14] для случая однородной пористой среды. Так же отметим, что при увеличении разбиений n_l погрешность мо-

Таблица 1. Погрешности ϵ_a^Ψ , $\epsilon_a^{\Psi d}$, ϵ_e^Ψ и $\epsilon_e^{\Psi d}$

n_1	n_y	ϵ_a^Ψ	$\epsilon_a^{\Psi d}$	ϵ_e^Ψ	$\epsilon_e^{\Psi d}$
20	5	0.819e-2	0.281e-1	0.257e-2	0.155e-1
20	10	0.535e-2	0.111e-1	0.139e-2	0.466e-2
20	15	0.401e-2	0.801e-2	0.956e-3	0.253e-2
20	20	0.360e-2	0.647e-2	0.818e-3	0.164e-2
40	5	0.731e-2	0.288e-1	0.217e-2	0.160e-1
40	10	0.373e-2	0.112e-1	0.927e-3	0.500e-2
40	15	0.222e-2	0.808e-2	0.541e-3	0.280e-2
40	20	0.191e-2	0.657e-2	0.451e-3	0.186e-2
60	5	0.707e-2	0.290e-1	0.206e-2	0.161e-1
60	10	0.329e-2	0.113e-1	0.803e-3	0.508e-2
60	15	0.170e-2	0.809e-2	0.417e-3	0.287e-2
60	20	0.137e-2	0.659e-2	0.331e-3	0.193e-2

дели Бринкмана уменьшается, что свидетельствует о сеточной сходимости разработанного метода, а погрешность модели Дарси увеличивается, что свидетельствует о том, что эта погрешность является погрешностью модели, а не вычислительной погрешностью.

ЗАКЛЮЧЕНИЕ

Предложен метод граничных элементов решения неоднородного бигармонического уравнения с линейной правой частью, содержащей искомую функцию и ее производные. Его эффективность и точность продемонстрированы на тестовой задаче сравнением с аналитическим решением. В качестве примера решена задача расчета фильтрационного течения в пористой среде с заданным неоднородным распределением проницаемости в рамках модели Бринкмана. Для оценки точности полученного решения проведен вычислительный эксперимент по детальному расчету течения вязкой жидкости в межпоровом пространстве в рамках модели Стокса. Результаты численного расчета предложенным методом с хорошей степенью точности согласуются с результатами вычислительного эксперимента. Сравнение полученных решений с решением той же задачи в рамках модели Дарси показало, что погрешность модели Бринкмана при расчете предложенным методом в несколько раз меньше погрешности модели Дарси.

Авторы благодарят Ш.Х. Зарипова и В.Ф. Шарафутдинова за полезные замечания.

СПИСОК ЛИТЕРАТУРЫ

1. Тимошенко С.П., Войновский-Кригер С. Пластины и оболочки. М.: Наука, 1966. 636 с.
2. Ханпель Дж., Бреннер Г. Гидродинамика при малых числах Рейнольдса. М.: Мир, 1976. 630 с.
3. Флетчер К., Бреннер Г. Вычислительные методы в динамике жидкостей: в 2 т. М.: Мир, 1991. Т. 2. 504 с.
4. Алгазин С.Д. Численные алгоритмы классической математической физики. М.: Диагол—МИФИ, 2010. 240 с.
5. Wu J. Problem of General Viscous Flow. Developments in BEM. London: Elsevier Applied Science Publication, 1982. V. 2.
6. Camp C.V., Gipson G.S. Boundary element analysis of nonhomogeneous biharmonic phenomena. Berlin, Heidelberg: Springer, 1992. 268 p.
7. Роуч П. Вычислительная гидродинамика. М.: Мир, 1980. 618 с.
8. Андерсон Д., Таннехил Дж., Плетчер Р. Вычислительная гидромеханика и теплообмен: в 2 т. М.: Мир, 1990. 384 с.
9. Skerget L., Hribersek M., Kuhn G. Computational fluid dynamics by boundary—domain integral method // International Journal for Numerical Methods in Engng. 1999. V. 46. 8. P. 1291—1311.
10. Mardanov R.F., Zaripov S.K. Solution of Nonhomogeneous Helmholtz Equation with Variable Coefficient Using Boundary Domain Integral Method // Lobachevskii Journal of Math. 2018. V. 39. 6. P. 783—793.

11. *Mardanov R.F., Sharafutdinov V.F., Ibragimov I.Z., Zaripov S.K., Baganina A.E.* Solving the fluid flow problems with boundary domain integral method // *J. Phys.: Conf. Ser.* 2019. V. 1158. 032027.
12. *Mardanov R.F., Dunnett S.J., Zaripov S.K.* Modeling of fluid flow in periodic cell with porous cylinder using a boundary element method // *Engng Analysis with Boundary Elements*. 2016. V. 68. P. 54–62.
13. *Brinkman H.C.* A calculation of the viscous force exerted by a flowing fluid on a dense swarm of particles // *Appl. Sci. Res.* 1947. V. A1. 1. P. 27–34.
14. *Zaripov S.K., Mardanov R.F., Sharafutdinov V.F.* Determination of Brinkman model parameters using Stokes flow model // *Transport in Porous Media*. 2019. V. 130. 2. P. 529–557.
15. *Mardanov R.F., Zaripov S.K., Maklakov D.V.* Two-dimensional Stokes flows in porous medium composed of a large number of circular inclusions // *Engng Analysis with Boundary Elements*. 2020. V. 113. P. 204–218.
16. *Sangani A.S., Acrivos A.* Slow flow through a periodic array of spheres // *Internat. Journal of Multiphase Flow*. 1982. V. 8. 4. P. 343–360.